

**Apc.11 Diagramme à panneaux des Résistivités apparentes  
en pseudosection dans le Secteur de Sagala**

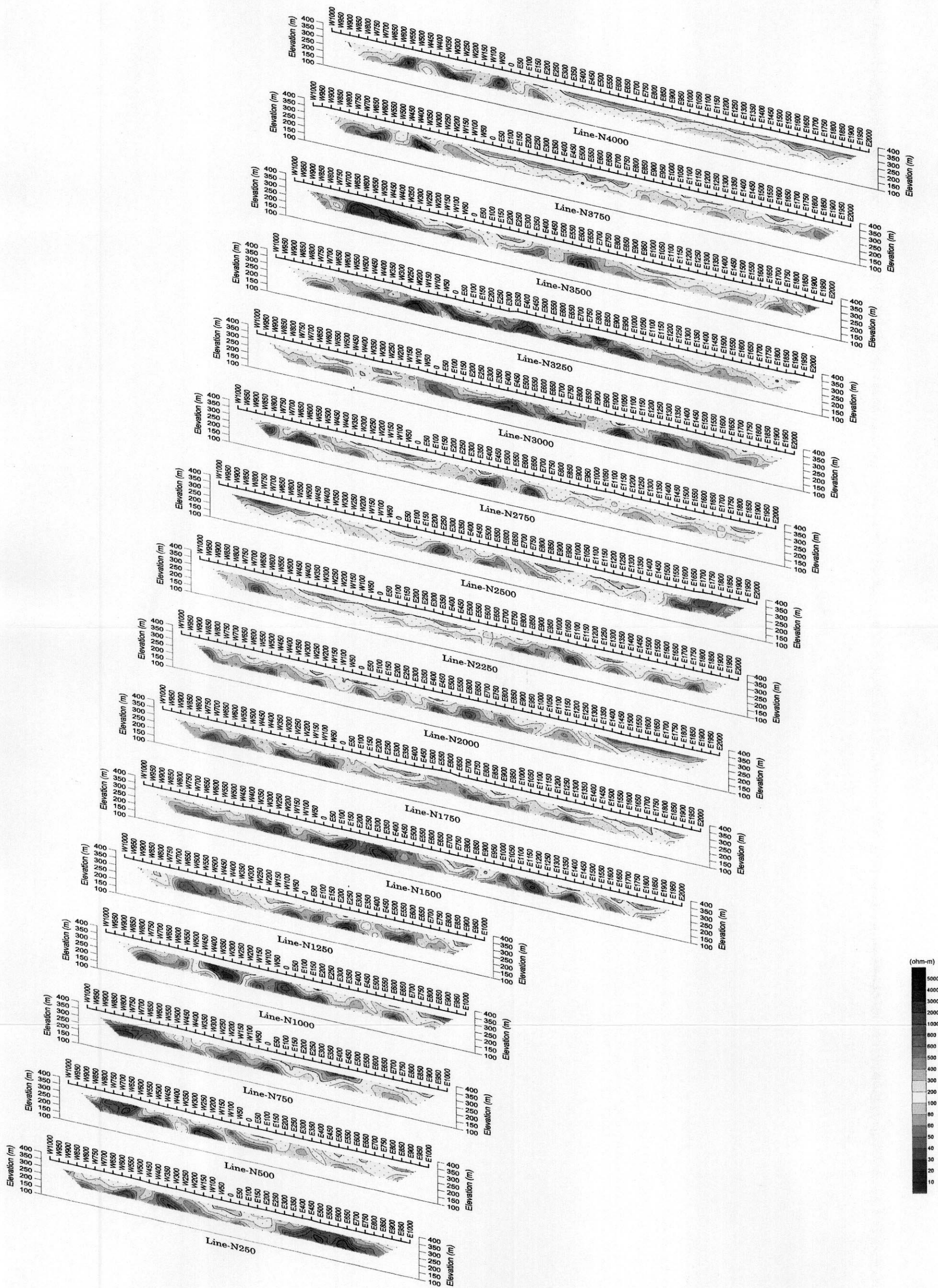


Diagramme à panneaux des Résistivités apparentes en Pseudosection dans le Secteur de Sagala

**Apc. 12 Diagramme à panneaux des Chargeabilités en pseudosection**

**dans le Secteur de Sagala**



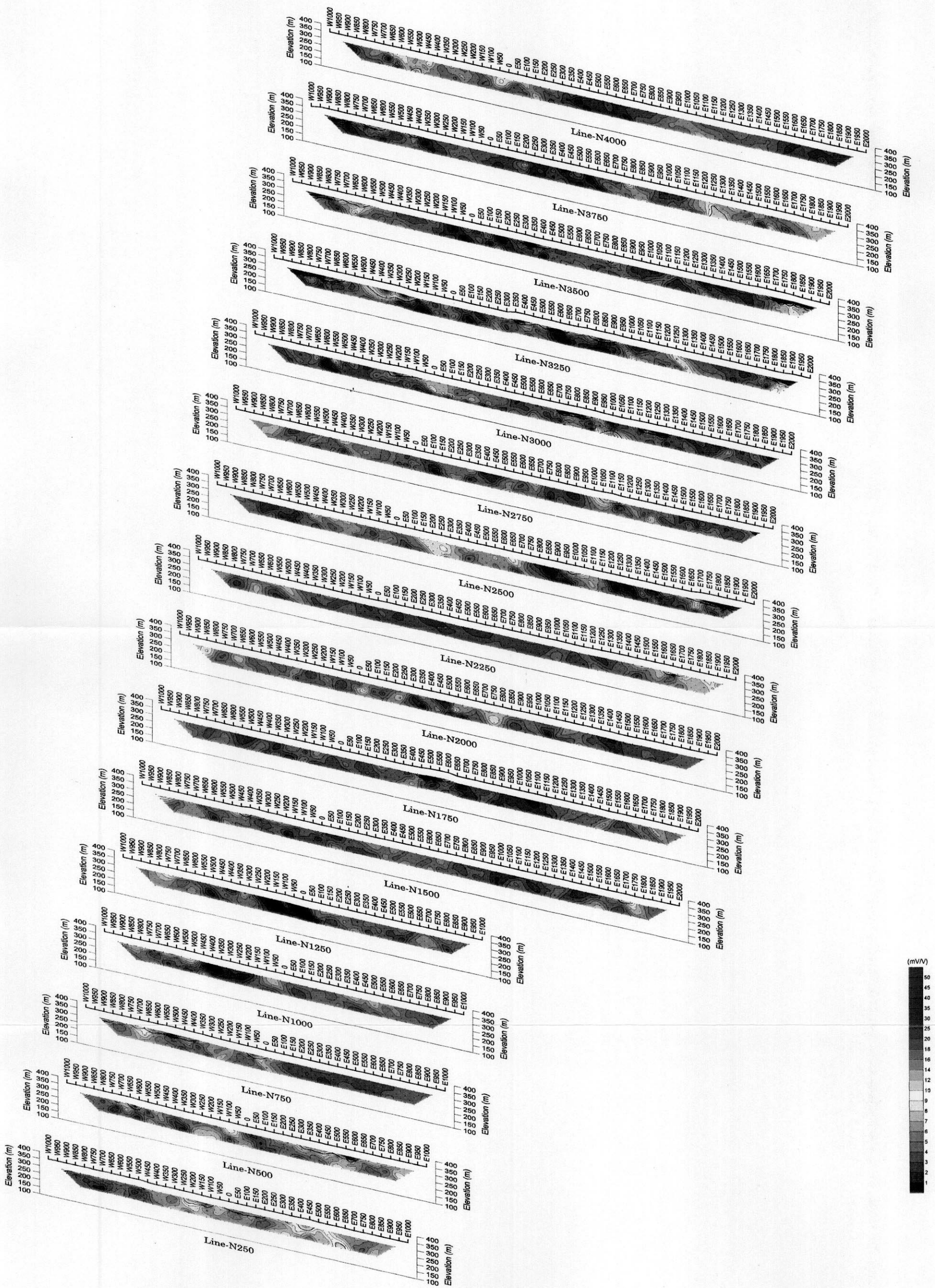


Diagramme à panneaux des Chargeabilités en Pseudosection dans le Secteur de Sagala

**Apc. 13    Résultat du plan inverse à 2D dans le Secteur de Sagala**

**ligne -N 4000**

**ligne -N 3750**

**ligne -N 3500**

**ligne -N 3000**

**ligne -N 2750**

**ligne -N 2500**

**ligne -N 2250**

**ligne -N 2000**

**ligne -N 1500**

**ligne -N 1250**

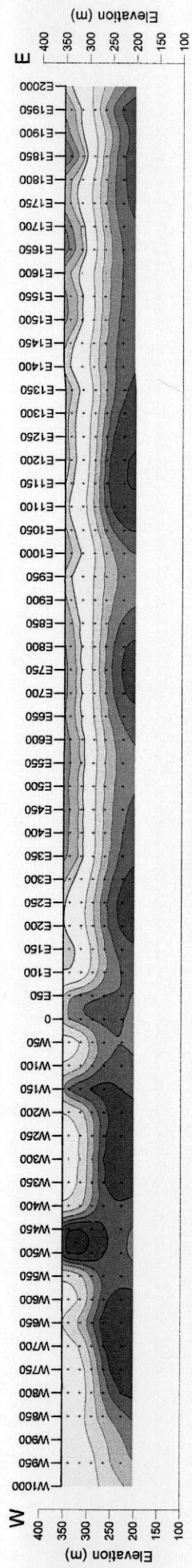
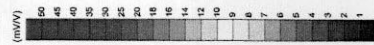
**ligne -N 1000**

**ligne -N 750**

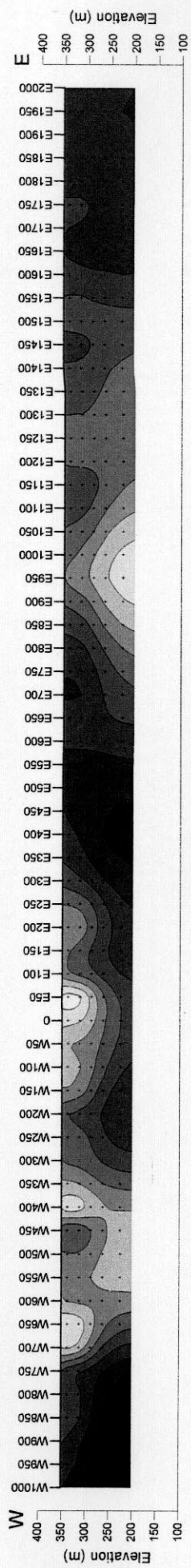
**ligne -N 500**

**ligne -N 250**





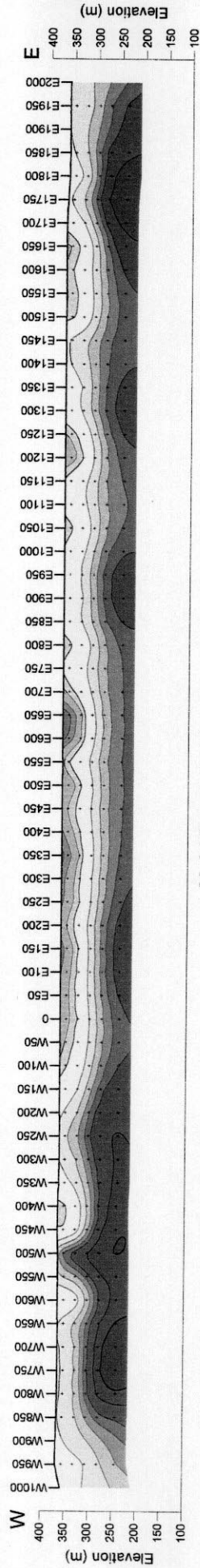
Model Resistivity (ohm-m)



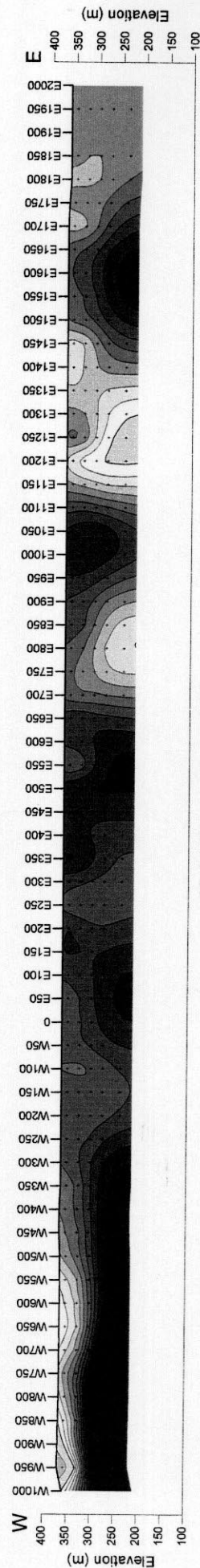
Model Chargeability (mV/V)



Résultat du plan inverse à 2D dans le Secteur de Sagala , Ligne -N4000



Model Resistivity (ohm-m)

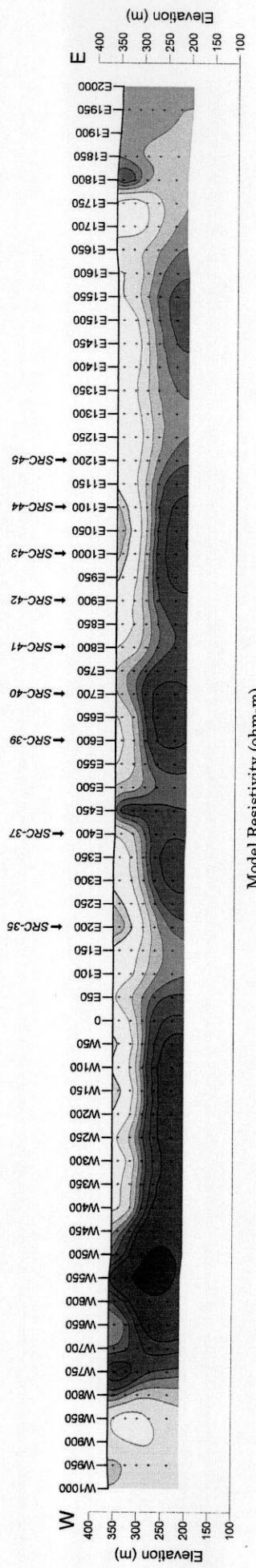
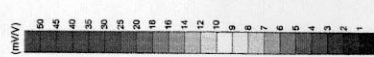
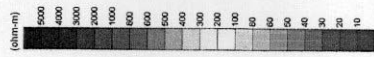


Model Chargeability (mV/V)

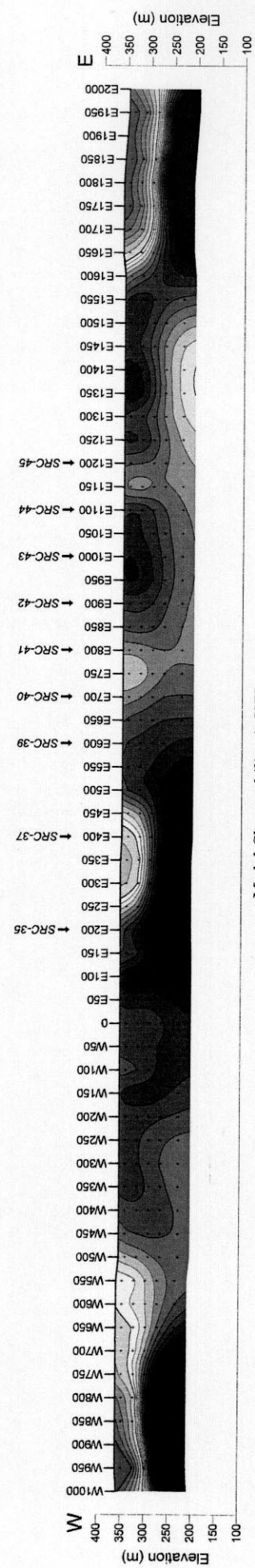


Résultat du plan inverse à 2D dans le Secteur de Sagala , Ligne -N3750





Model Resistivity (ohm-m)

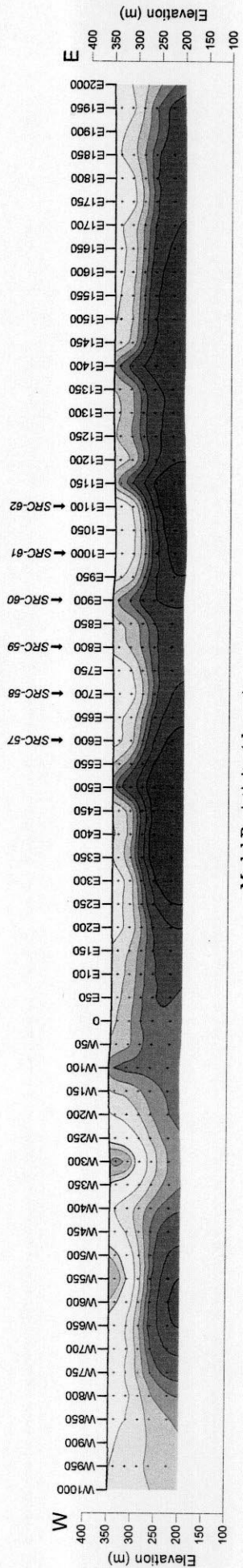
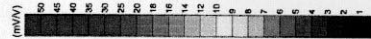
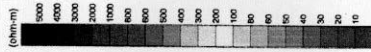


Model Chargeability (mV/V)

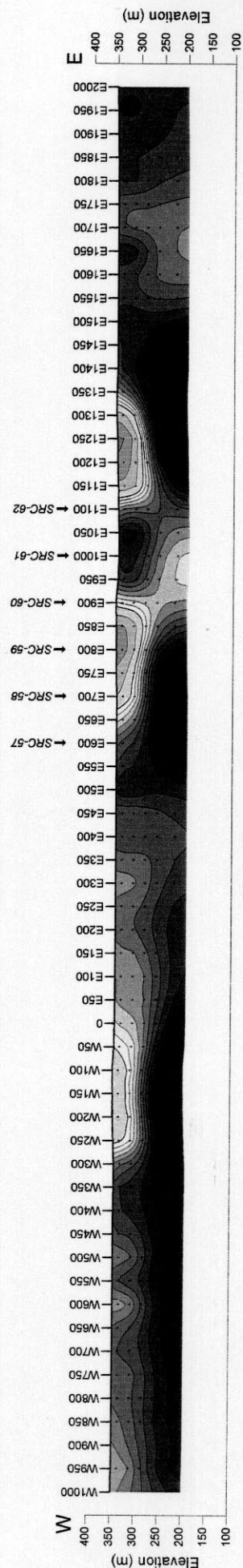


Résultat du plan inverse à 2D dans le Secteur de Sagala , Ligne -N3500





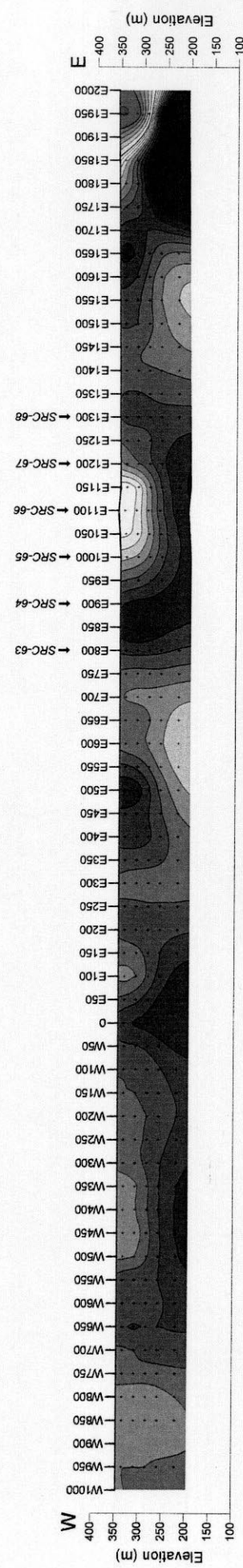
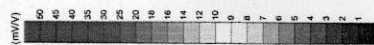
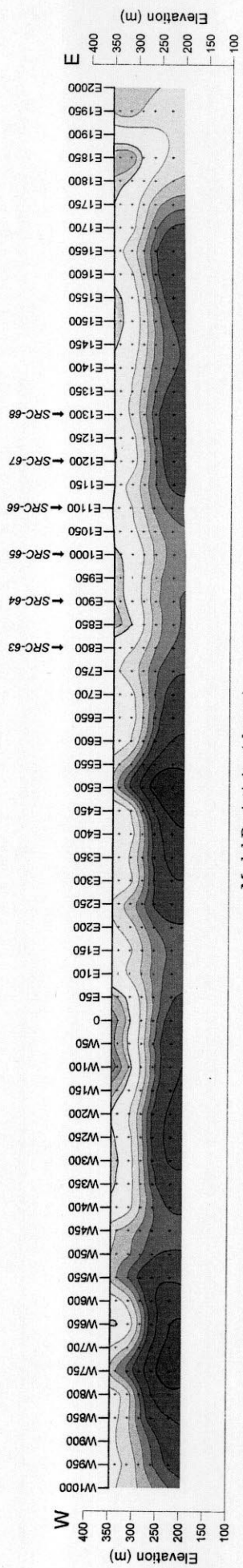
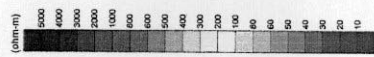
Model Resistivity (ohm-m)



Model Chargeability (mV/V)

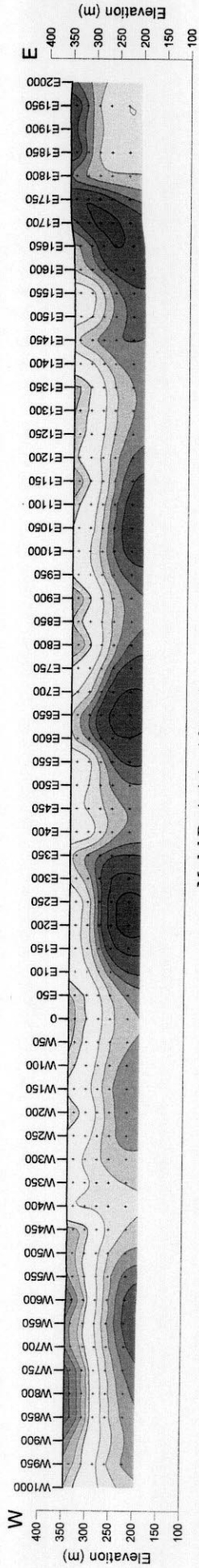


Résultat du plan inverse à 2D dans le Secteur de Sagala, Ligne -N3000

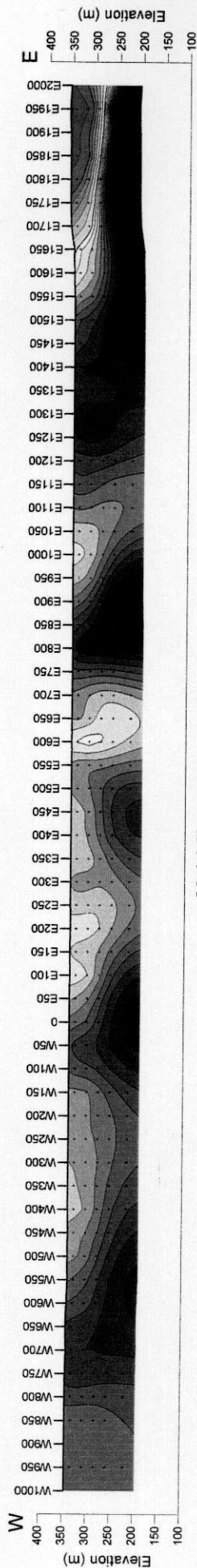


Résultat du plan inverse à 2D dans le Secteur de Sagala , Ligne -N2750





Model Resistivity (ohm-m)

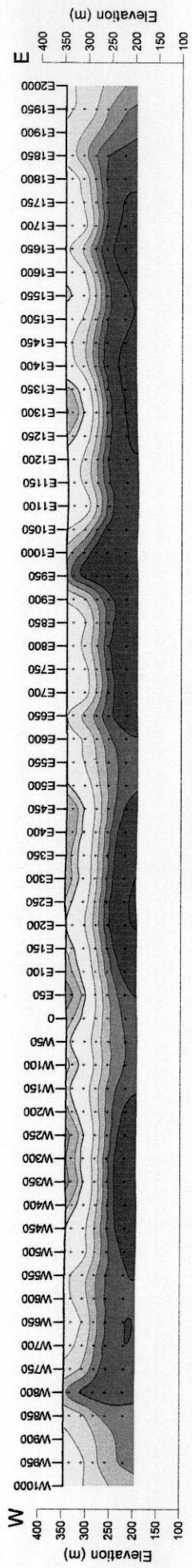
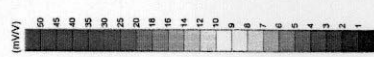
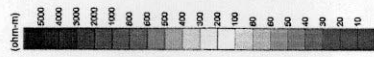


Model Chargeability (mV/V)

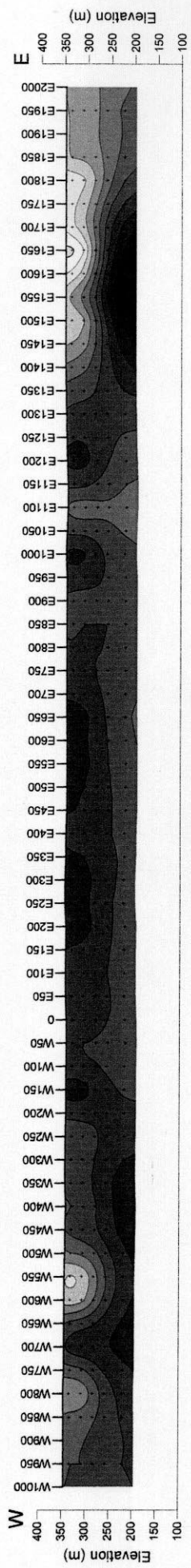


Résultat du plan inverse à 2D dans le Secteur de Sagala, Ligne -N2500





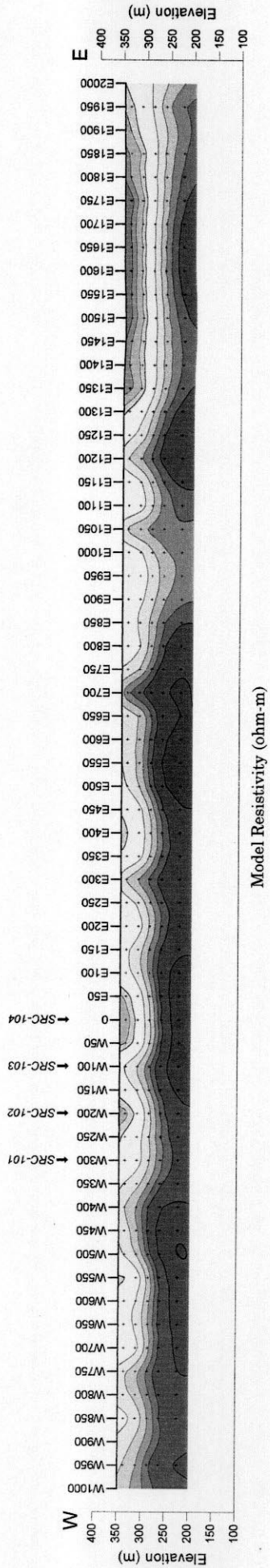
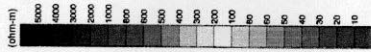
Model Resistivity (ohm-m)



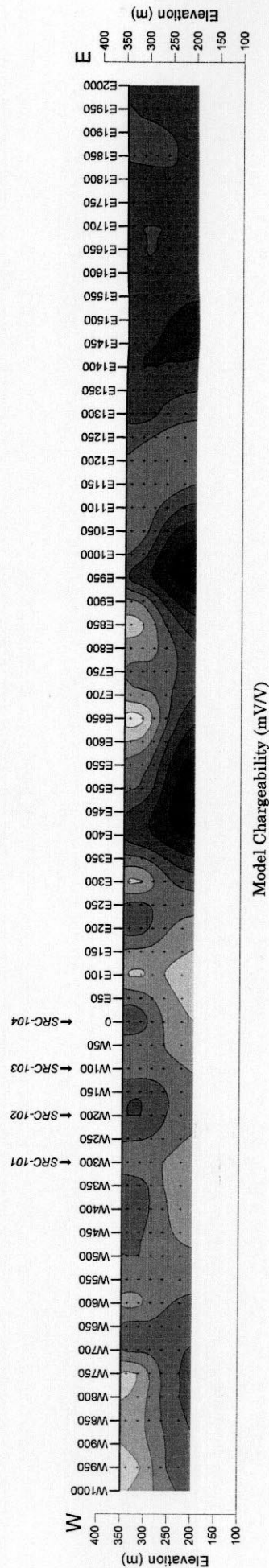
Model Chargeability (mV/V)



Résultat du plan inverse à 2D dans le Secteur de Sagala , Ligne -N2250

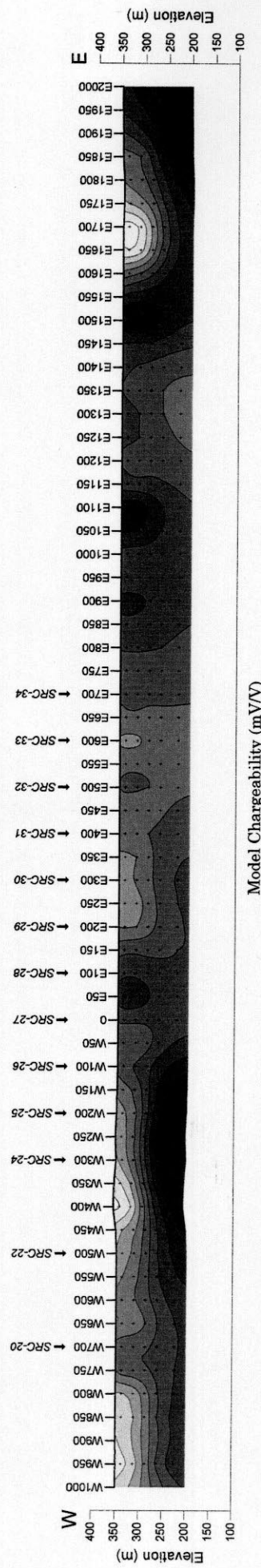
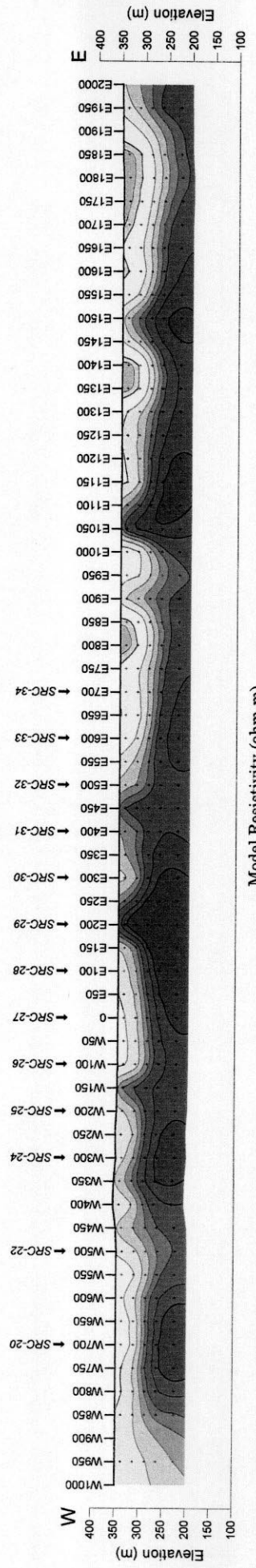


Model Resistivity (ohm-m)



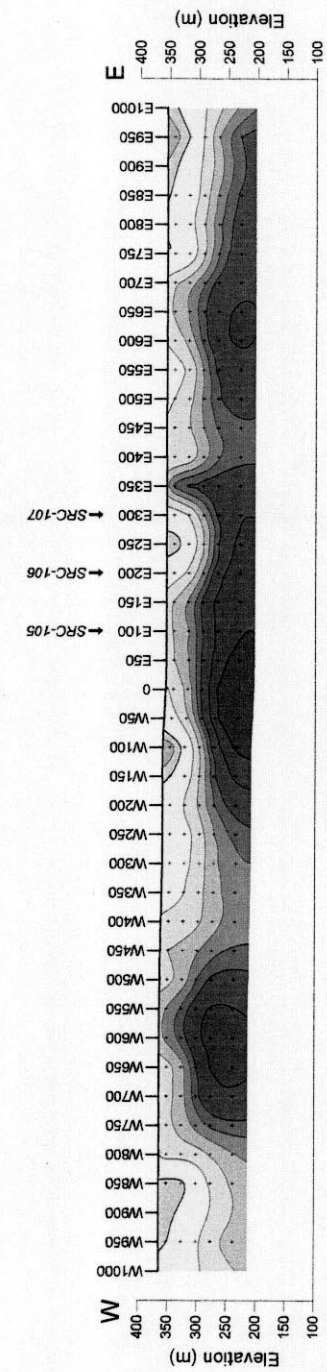
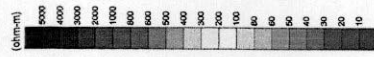
Model Chargeability (mV/V)

Résultat du plan inverse à 2D dans le Secteur de Sagala, Ligne -N2000

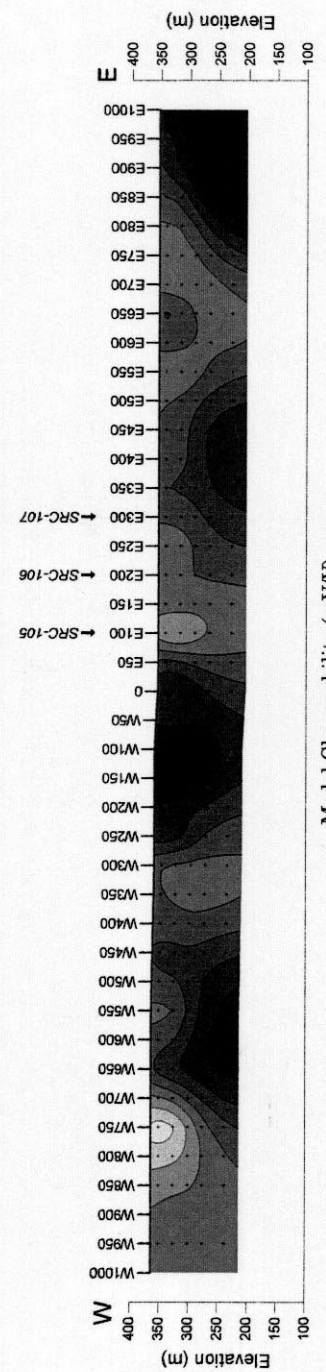


Résultat du plan inverse à 2D dans le Secteur de Sagala , Ligne -N1500





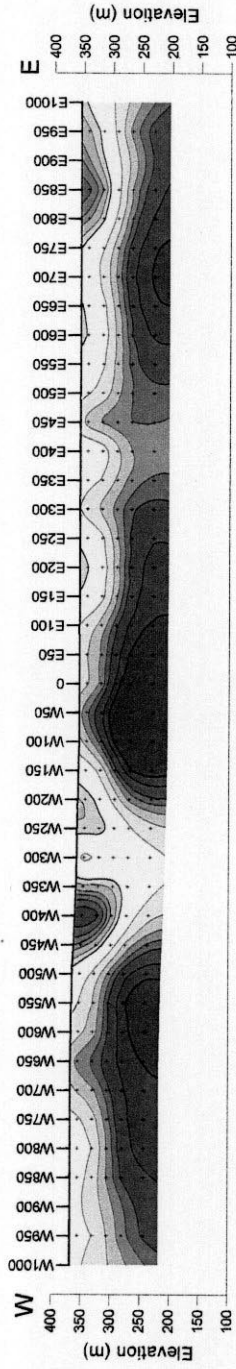
Model Resistivity (ohm-m)



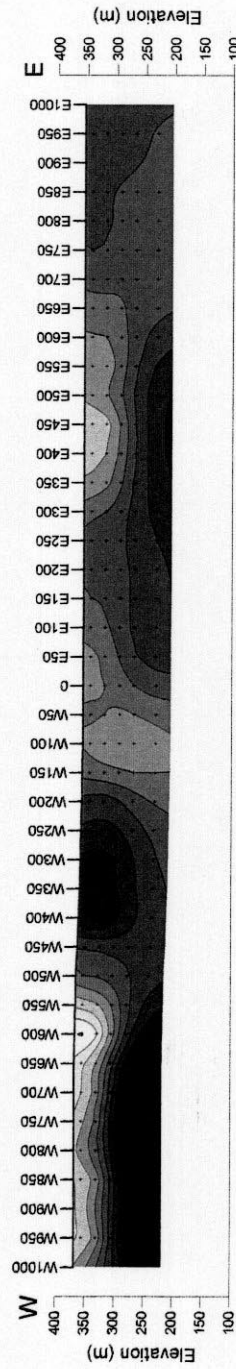
Model Chargeability (mV/V)



Résultat du plan inverse à 2D dans le Secteur de Sagala , Ligne -N1250



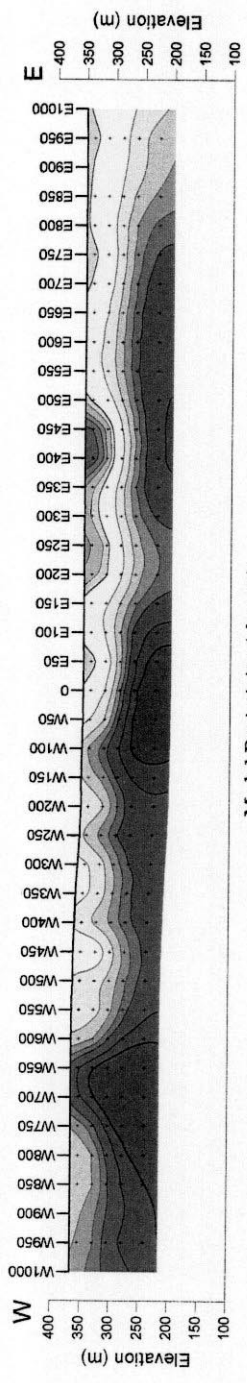
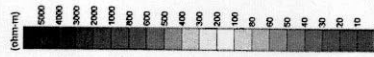
Model Resistivity (ohm-m)



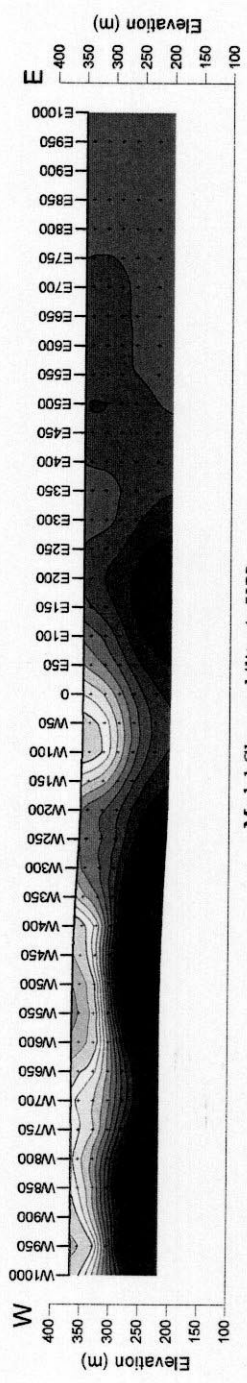
Model Chargeability (mV/V)



Résultat du plan inverse à 2D dans le Secteur de Sagala , Ligne -N1000



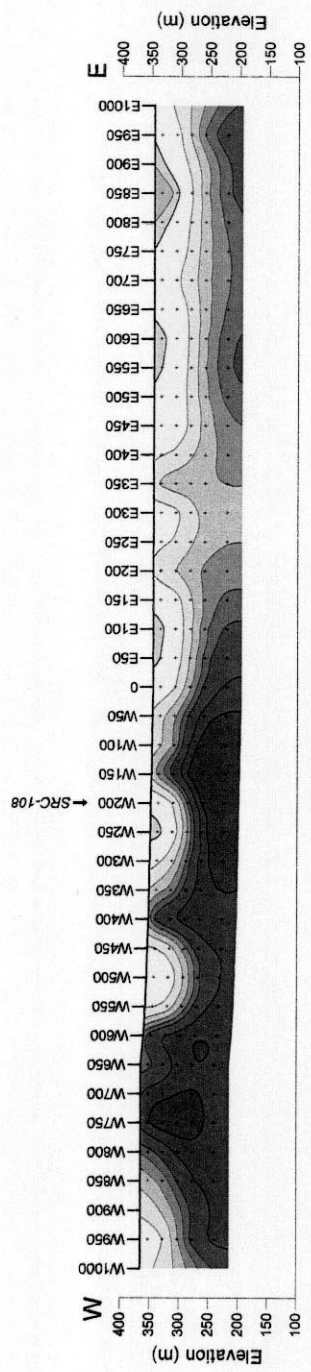
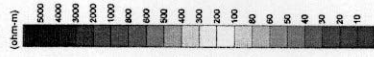
Model Resistivity (ohm-m)



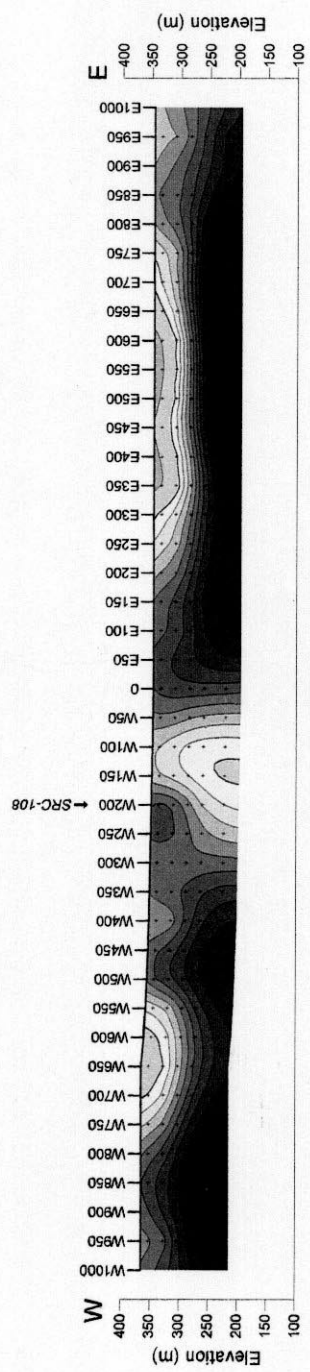
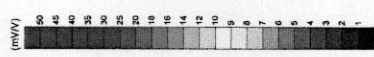
Model Chargeability (mV/V)

Résultat du plan inverse à 2D dans le Secteur de Sagala , Ligne -N750





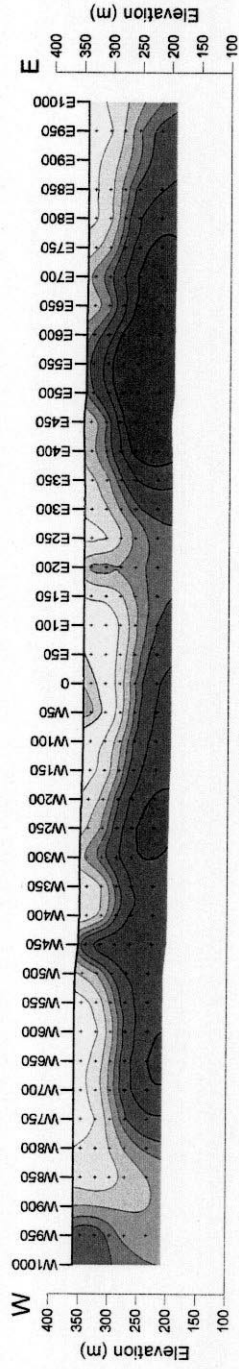
Model Resistivity (ohm-m)



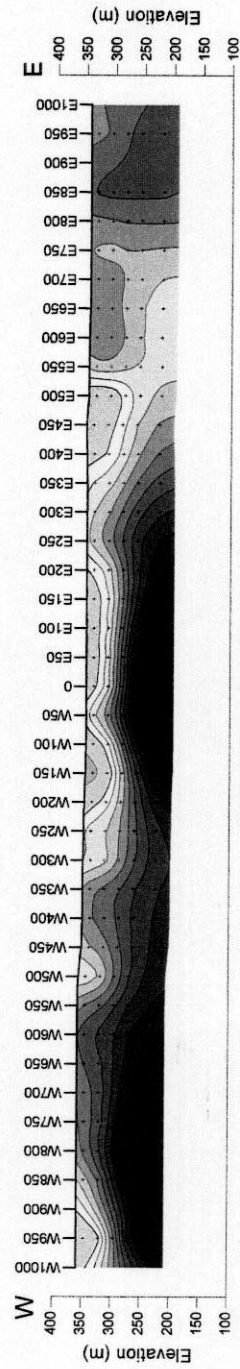
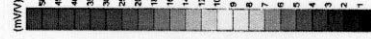
Model Chargeability (mV/V)



Résultat du plan inverse à 2D dans le Secteur de Sagala , Ligne -N500



Model Resistivity (ohm-m)



Model Chargeability (mV/V)



Résultat du plan inverse à 2D dans le Secteur de Sagala , Ligne -N250